

*Вестник Сыктывкарского университета.  
Сер.1. Вып.12.2010*

**УДК 539.3**

**КОНСТРУКТИВНО-НЕЛИНЕЙНАЯ МЕХАНИКА  
ПЛАСТИН И ОБОЛОЧЕК<sup>1</sup>**

***Е.И. Михайловский, В.Н. Тарасов***

Излагается вторая часть статьи (первая часть опубликована в предыдущем выпуске настоящего "Вестника": 2010. – Вып. 11. – С. 5-51.), посвященная устойчивости и закритическому поведению конструкций и сооружений при односторонних ограничениях на перемещения. Статья, как было сказано в предисловии, является обзорной, однако изложенный в данной части метод движения по параметру жесткости упругой среды, публикуется впервые.

**3. Устойчивость упругих систем  
в условиях конструктивной  
нелинейности**

**3.1. Локальный метод поиска  
собственных значений положительно  
однородного оператора**

**3.1.1** В монографии [49] сказано следующее: "Типичный случай длинного стержня на упругом основании представляют, например, сварные рельсы. При высоких температурах может возникнуть в таких рельсах значительное сжимающее усилие; поскольку свободному поперечному выпучиванию препятствует мостовая, рельсы могут выпучиваться по волнистой линии, если поперечное сопротивление окажется недостаточным". Закономерен вопрос: "На каком основании при математической формулировке задачи на устойчивость продольно сжимаемых рельсов жесткости при движении "в мостовую" и "из мостовой" принимаются одинаковыми? Из простых умозрительных соображений следует признать, что считать названные жесткости одинаковыми, оснований нет.

---

<sup>1</sup>Работа выполнена при финансовой поддержке гранта РФФИ № 09-01-00178-а

Иными словами, при принятии гипотезы Винклера уравнение продольного изгиба рельса следует представлять в виде

$$EIw^{IV} + c_1w_+ + c_2w_- = -Pw''. \quad (3.1)$$

а не так, как его традиционно записывают (см., например, форм. (3.106) [41]):

$$EIw^{IV} + cw = -Pw''. \quad (3.2)$$

Выше использованы обозначения:  $EI$  – жесткость стержня при изгибе;  $P$  – продольная сжимающая сила;  $c_1, c_2, c$  – жесткости винклеровых сред;  $w' = dw/dx$ ;  $w_+, w_-$  – срезки функций прогиба:

$$w_+ = \begin{cases} w, & w > 0 \\ 0, & w \leq 0 \end{cases}, \quad w_- = \begin{cases} 0, & w \geq 0 \\ w, & w < 0 \end{cases}, \quad (3.3)$$

Спектральные задачи на основе уравнения (3.1) можно обобщить так: найти нетривиальное решение операторного уравнения

$$\mathcal{A}(u) \triangleq Au + Bu_+ + Cu_- = \lambda Qu \quad (3.4)$$

где  $A$  – линейный оператор, порожденный дифференциальным выражением с четными (вообще, говоря, обобщенными) производными от функции  $u(M)$ ,  $M \in \Omega$  со старшей производной  $2k$  и граничными условиями вида

$$(\Gamma_j u)(M) = 0, \quad j \in 1 : k, \quad M \in \partial\Omega \quad (3.5)$$

( $\Gamma_j u$  – линейные дифференциальные выражения с порядком старшей производной не достигающим  $2k$ );  $Q$  – линейный оператор, порожденный дифференциальным выражением со старшей производной порядка  $2(k-i)$ ,  $i \geq 1$  и граничными условиями (3.5);  $B, C$  – операторы умножения на неотрицательную функцию.

Таким образом, ставится задача: найти нетривиальное решение уравнения (3.4) на множестве функций

$$D_A = \{u \in C^{(2k)}(\bar{\Omega}) : (\Gamma_j u)(M) = 0, \quad j \in 1 : k, \quad M \in \partial\Omega\}. \quad (3.6)$$

Обозначим множество функций, суммируемых с квадратом вплоть до  $k$ -ой обобщенной производной и удовлетворяющих граничным условиям (3.5), через  $\dot{W}_2^{(k)}(\Omega)$ . Известно [50, 43], что  $\dot{W}_2^{(k)}$  – полное гильбертово пространство в котором  $D_A$  является плотным множеством. Учитывая, что  $\mathcal{A}(\alpha u) = \alpha \mathcal{A}(u)$  при  $\alpha > 0$ , сформулированную задачу можно

отнести к проблеме собственных значений положительно однородных операторов.

Норму и скалярное произведение в пространствах  $\mathring{W}_2^{(k)} \triangleq H$  и  $L_2(\Omega)$  будем обозначать так:

$$\|u\|_H, (u, v)_H; \|u\|, (u, v). \quad (3.7)$$

Имеют место соотношения

$$H \subset L_2(\Omega), \quad \|u\|_H \geq c_c \|u\|, \quad c_c > 0, \quad (3.8)$$

т.е. пространство  $H$  ограничено вкладывается в пространство  $L_2(\Omega)$  [50,43].

Проблеме собственных значений положительно однородного оператора можно дать вариационную формулировку: найти  $u(M)$ , такие, что

$$f(u) \longrightarrow \min_{u \in \mathfrak{M}}, \quad \mathfrak{M} = \{u \in H : g(u) = 1\}, \quad (3.9)$$

где введены обозначения

$$f(u) = \frac{1}{2}(f'u, u), \quad f'u = \mathcal{A}(u); \quad g(u) = \frac{1}{2}(Qu, u). \quad (3.9')$$

Ниже предполагаем, что (после соответствующего расширения)  $A : H \longrightarrow L_2(\Omega)$  – положительно определенный самосопряженный оператор;  $Q : H \longrightarrow L_2(\Omega)$  – положительный вполне непрерывный (компактный) оператор. Это означает, что для всякого  $u$  из  $H$  выполняются неравенства

$$(Au, u)_H \geq \gamma^2 \|u\|_H^2; \quad (Qu, u)_H > 0 \quad \forall u \neq 0. \quad (3.10)$$

Пусть далее

$$b(M), \quad c(M) \in L_2(\Omega), \quad b(M) \geq 0, \quad c(M) \geq 0 \quad (3.11)$$

Тогда под операторами умножения в (3.4) будем понимать отображения

$$B : u \rightarrow bu, \quad C : u \rightarrow cu, \quad u \in H, \quad bu, cu \in L_2(\Omega). \quad (3.12)$$

Можно показать [10,51], что множество  $\mathfrak{M}$  в силу компактности оператора  $Q$  является слабо замкнутым, т.е. ему принадлежит предел любой слабо сходящейся последовательности  $\{u_n\} \subset \mathfrak{M}$  и что  $f(u)$  – непрерывный сильно выпуклый на  $\mathfrak{M}$  функционал, т.е. для любых  $u, v \in \mathfrak{M}$  выполняется неравенство

$$f(u) \geq f(v) + (f'v, u - v) + \mu \|u - v\|_H^2, \quad \mu > 0. \quad (3.13)$$

Таким образом, задача (3.9) разрешима, так как непрерывный сильно выпуклый функционал достигает своего минимума на любом слабо замкнутом множестве [37].

Пусть  $u_*$  – решение задачи (3.9). Тогда, используя правило множителей Лагранжа, можно записать

$$f'u_* = \lambda Qu_*, \quad g(u_*) = 1. \quad (3.14)$$

Функции из  $\dot{W}_2^{(k)}(\Omega)$ , удовлетворяющие условиям (3.14), будем называть *стационарными точками* задачи (3.9).

И, наоборот, если  $w_* \neq 0$  – решение уравнения (3.4), то  $u_* = w_*/\sqrt{g(w_*)}$  – стационарная точка функционала  $f(u)$  на множестве  $\mathfrak{M}$ .

**3.1.2** Для нахождения стационарных точек задачи (3.9) можно использовать следующий итерационный процесс. Предположим, что найдено  $j$ -ое приближение  $u_j \in \mathfrak{M}$ ,  $\lambda_j \in R$ . Введем в рассмотрение множество

$$\mathfrak{M}_j = \left\{ u \in \dot{W}_2^{(k)}(\Omega) : (Qu_j, u - u_j) = 0 \right\} \quad (3.15)$$

и найдем элемент

$$\tilde{u}_{j+1} = \arg \min_{u \in \mathfrak{M}_j} f(u). \quad (3.16)$$

Элемент  $\tilde{u}_{j+1}$ , доставляющий минимум выпуклому функционалу  $f(u)$  на выпуклом множестве  $\mathfrak{M}_j$ , очевидно, существует. Необходимое условие выполнения условия (3.16) можно записать в виде

$$f'u_{j+1} = \lambda_{j+1}Qu_j, \quad \frac{1}{2}(Qu_j, \tilde{u}_{j+1}) = 1. \quad (3.17)$$

Учитывая, что на основании (3.17) справедливы равенства

$$f(\tilde{u}_{j+1}) = \frac{1}{2}(f'\tilde{u}_{j+1}, \tilde{u}_{j+1}) = \frac{1}{2}\lambda_{j+1}(Qu_j, \tilde{u}_{j+1}) = \lambda_{j+1},$$

$(j+1)$ -ое приближение определяется так:

$$u_{j+1} = \tilde{u}_{j+1}/\sqrt{g(\tilde{u}_{j+1})}, \quad \lambda_{j+1} = f(u_{j+1}). \quad (3.18)$$

Изложенный алгоритм назван авторами *локальным методом поиска собственных чисел положительно однородного оператора* [52] (ниже для краткости – *локальный метод*). Локальный метод позволяет найти какое-либо, необязательно минимальное, собственное число. В работах [10, 51] приведено доказательство сходимости и обсуждаются вопросы

модификации локального метода с целью получения минимального собственного числа.

**3.1.3.** Уравнение (3.1) можно преобразовать к следующему виду:

$$\underline{w^{IV} + k_1 w_+ + k_2 w_-} = -\lambda w'', \quad (3.19)$$

где использованы обозначения

$$w' = \frac{dw}{d\xi}; \quad \xi = \frac{\pi}{l}x, \quad x \in [0, l]; \quad \lambda = \frac{Pl^2}{\pi^2 EI}; \quad k_i = \frac{l^4 c_i}{\pi^4 EI}. \quad (3.19')$$

□ В названии статьи объектами исследования названы пластины и оболочки. Уравнение (3.19) описывает "продольный" цилиндрический изгиб пластины, под действием сжимающего усилия  $T_o$ , если положить

$$\lambda = \frac{T_o l^2}{\pi^2 d_o}, \quad k_i = \frac{l^4 c_i}{\pi^4 d_o}, \quad (3.19'')$$

или осесимметричное выпучивание цилиндрической оболочки, длиной  $l$ , толщиной  $h$  и радиусом  $R$ , если

$$k_i = \frac{l^4}{\pi^4} \left( \frac{c_i}{d_o} + \frac{12(1-\nu^2)}{R^2 h^2} \right). \quad (3.19''')$$

Поэтому естественно рассмотреть простейший элемент конструкции – стержень. ■

Можно показать, что операторы

$$A \triangleq \frac{d^4}{d\xi^4}, \quad Q \triangleq -\frac{d^2}{d\xi^2}$$

на множестве функций

$$D_A = \{w \in C^{(4)}[0, \pi] : w(0) = w(\pi) = 0, \quad w'(0) = w'(\pi) = 0\},$$

плотном в гильбертовом пространстве

$$\mathring{W}_2^{(2)}(0, \pi) = \left\{ w \in W_2^{(2)} : w(0) = w(\pi) = 0, \quad w'(0) = w'(\pi) = 0 \right\},$$

удовлетворяют условиям, обеспечивающим сходимость локального метода.

Таким образом, задача (3.9) допускает следующую формулировку:

$$f(w) = \frac{1}{2} \int_0^\pi (w''^2 + k_1 w_+^2 + k_2 w_-^2) d\xi \longrightarrow \min_{w \in \mathfrak{M}},$$

$$\mathfrak{M} = \left\{ w \in \dot{W}_2^{(2)}(0, l) : g(w) = 1, \right\} \quad g(w) = \frac{1}{2} \int_0^\pi w'^2 d\xi. \quad (3.20)$$

При этом  $(j+1)$ -ое приближение определяется соотношениями

$$\begin{aligned} \tilde{w}_{j+1} &= \arg \min_{w \in \mathfrak{M}_j} f(w), \\ \mathfrak{M}_j &= \left\{ w \in \dot{W}_2^{(2)} : \int_0^\pi w'_j(w' - w'_j) d\xi = 0 \right\}, \\ w_{j+1} &= \tilde{w}_{j+1} / \sqrt{g(\tilde{w}_{j+1})}, \quad \lambda_{j+1} = f(w_{j+1}). \end{aligned} \quad (3.21)$$

При использовании конечномерной аппроксимации процесс (3.21) сводится к решению последовательности задач невыпуклого квадратичного программирования.

В табл. 3.1 представлены результаты расчетов первого собственного числа  $P_I$  для продольно сжатого шарнирно оперто стержня (см. уравнение (3.19)), полученные с применением локального метода на сетке размерностью  $m = 34$  при фиксированном значении параметра жесткости  $k_1$ , ( $k_1 = 16$ ), и значениях параметра  $k_2$ , изменяющихся от 18 до 810 [11]. Соответствующие собственные формы показаны на рис. 3.1.

Таблица 3.1

$k_2$	18	90	150	810
$P_I$	8.338	9.842	9.956	10.105
$\lambda_1$	8.309	9.797	9.909	10.055
Форма прогиба	1	2	3	4

Если прогибы стержня ограничены с одной стороны абсолютно жестким основанием  $k_2 \rightarrow \infty$ , то задача (3.20) трансформируется в следующую:

$$\begin{aligned} f_\circ(w) &\triangleq \frac{1}{2} \int_0^\pi (w''^2 + k_1 w^2) d\xi \longrightarrow \min_{w \in \mathfrak{M}_\circ}, \\ \mathfrak{M}_\circ &\triangleq \left\{ w \in \dot{W}_2^{(2)}(0, \pi) : g(w) = 1, \quad w \geq 0 \right\}, \\ g(w) &= \frac{1}{2} \int_0^\pi w'^2 d\xi = 1. \end{aligned} \quad (3.22)$$

Задача (3.22) допускает аналитическое решение [51]. Введем обозначения

$$m_1 = \sqrt{\frac{\rho^2}{2} + \sqrt{\frac{\rho^4}{4} - \omega}}, \quad m_2 = \sqrt{\frac{\rho^2}{2} - \sqrt{\frac{\rho^4}{4} - \omega}},$$

$$l_2 = \frac{\sqrt{3}\pi}{\sqrt[4]{w}}, \quad \omega = \frac{k_1}{EI}, \quad \rho^2 = \frac{P}{EI}. \quad (3.23)$$

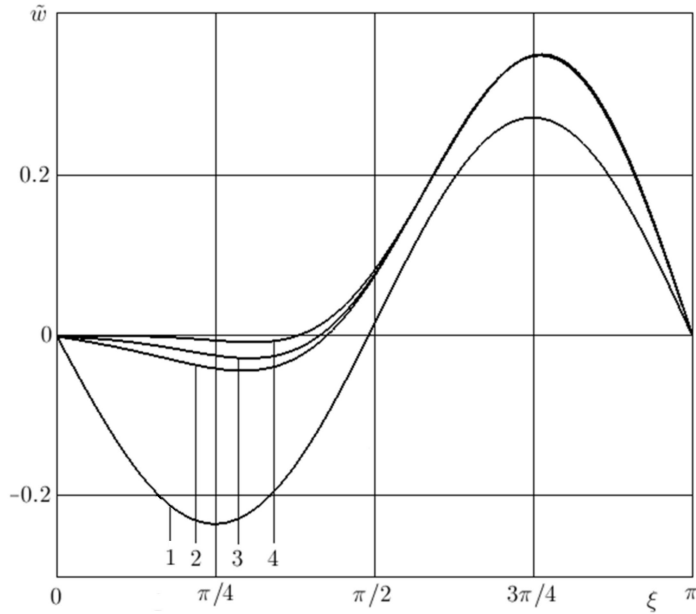


Рис. 3.1.

Если  $l_2 < l$ , то  $l_2$  – длина части стержня, отошедшей от жесткой стенки. Критическая сила в этом случае определяется формулой  $P_{kp} = 2.5\pi^2 EI\sqrt{k_1}/l^2$ , а собственная форма имеет вид

$$w(x) = A \sin^3(m_2 x) \Theta(l_2 - x), \quad A > 0, \quad x \in [0, l] \quad (3.24)$$

( $\Theta(\cdot)$ –функция Хевисайда).

Если же  $l_2 > l$ , то ограничение  $w(x) \geq 0$  не влияет на решение задачи. Критическая сила при этом определяется из уравнения

$$2m_1 m_2 (1 - \cos m_1 l \sin m_2 l) - (m_1^2 + m_2^2) \sin m_1 l \sin m_2 l = 0. \quad (3.25)$$

**3.1.4.** Задача (3.22) имеет очевидное обобщение:

$$f(u) = \frac{1}{2}(Au, u) \longrightarrow \min_{u \in \mathfrak{M}}$$

$$\mathfrak{M} = \left\{ u \in \overset{\circ}{W}_2^{(k)}(\Omega) : g(u) = 1, \quad u \geq 0 \right\},$$

$$g(u) = \frac{1}{2}(Qu, u) = 1. \quad (3.26)$$

Можно показать, что при свойствах, которыми наделены выше операторы  $A$  и  $Q$ , локальный метод, будучи примененным к задаче (3.26), сходится. В частности, решение задачи (3.22), полученное с использованием локального метода, хорошо согласуется с аналитическим решением (3.23)–(3.25).

Для проверки того, является ли найденное локальным методом собственное число минимальным, можно после нахождения  $\lambda_* = \lim f(u_k)$  при  $k \rightarrow \infty$  дополнительно рассмотреть следующую задачу:

$$f_1(u) \triangleq \frac{1}{2}((A - \lambda_* Q)u, u) \longrightarrow \min, \quad (3.27)$$

где

$$u \in \mathring{W}_2^{(k)}(\Omega), \quad u(M) \geq 0 \quad \forall M \in \Omega. \quad (3.27')$$

Если  $f_1(u) \geq 0$  для всех неотрицательных  $u(M)$ , то  $\lambda_*$  является минимальным числом, при котором задача (3.27) имеет нетривиальное решение, и носит смысл критической нагрузки.

Задачи на устойчивость упругих систем при односторонних ограничениях на перемещения могут быть исследованы аналитически лишь в редких случаях (см., например, [12,53]). При численном решении задачи (3.26) с использованием конечномерной аппроксимации приходится иметь дело с задачей нелинейного программирования следующего вида:

$$f(x) = \frac{1}{2}(Ax, x) \longrightarrow \min_{x \in R^n}, \quad (3.28)_1$$

$$g(x) = \frac{1}{2}(Qx, x) = 1, \quad (3.28)_2$$

$$(b_i, x) \leq 0, \quad i \in 1 : m. \quad (3.28)_3$$

Пусть  $x_*$  – решение задачи (3.28). Тогда по теореме Куна-Таккера (см., например, [54]) найдутся множители Лагранжа  $\lambda_*$  и  $\lambda_i \geq 0$ ,  $i \in 1 : m$ , такие, что

$$Ax_* - \lambda_* Qx_* + \sum_{i=1}^m \lambda_i b_i = 0, \quad (3.29)_1$$

$$\lambda_i(b_i, x_*) = 0, \quad i \in 1 : m, \quad (3.29)_2$$

$$\frac{1}{2}(Qx_*, x_*) = 1. \quad (3.29)_3$$

Умножая скалярно уравнение (3.29)<sub>1</sub> на вектор  $x_*$  и учитывая равенства (3.29)<sub>2</sub>, (3.29)<sub>3</sub>, получаем

$$f(x_*) = \frac{1}{2}\lambda_*(Qx_*, x_*) = \lambda_*. \quad (3.30)$$

Обозначим через  $\Gamma$  конус, определяемый неравенствами (3.28)<sub>3</sub>. Так как при  $x \in \Gamma$ ,  $g(x) = 1$  выполняется условие  $f(x) \geq f(x_*) = \lambda_*$ , то для этих векторов

$$\frac{1}{2}((A - \lambda Q)x, x) = \frac{1}{2}(Ax, x) - \frac{\lambda}{2}(Qx, x) \geq \lambda_* - \lambda. \quad (3.31)$$

Введем в рассмотрение матрицу  $G(\lambda) = A - \lambda Q$ . Из (3.31) следует, что для всех  $\lambda < \lambda_*$  матрица  $G(\lambda)$  положительно определена на конусе  $\Gamma$ . И, наоборот, если  $\lambda > \lambda_*$ , то существует вектор  $x \in \Gamma$ , такой, что  $(G(\lambda)x, x) < 0$ .

Следовательно, нахождение решения задачи (3.26) сводится к отысканию числа  $\lambda$ , такого, при котором нарушается условие

$$(G(\lambda)x, x) \geq 0 \quad \forall x \in \Gamma.$$

Иными словами, механическая проблема устойчивости упругих систем при жестких ограничениях на перемещения сводится к математической проблеме идентификации положительной определенности квадратичных форм на конусах.

Необходимые и достаточные условия положительной определенности квадратичной формы в важном частном случае, когда  $\Gamma$  представляет собой положительный орнант в  $R^n$ , т.е.

$$\Gamma = \{x \in R^n : x_\nu \geq 0, \nu \in 1 : n\},$$

установлены в работах [55, 56]. Использование этих условий сопряжено с вычислением большого количества определителей (в общем случае  $2^n$ ) и является крайне трудоемким.

Задача нелинейного программирования, в которую переходит вариационная задача (3.27) в результате конечномерной аппроксимации, невырожденным линейным преобразованием  $z = Vx$  трансформируется в задачу сепарабельного невыпуклого квадратичного программирования

$$\frac{1}{2} \sum_{\nu=1}^n \mu_\nu z_\nu^2 \longrightarrow \min_{z \in R^n}, \quad (V^* b_i, z) \leq 0, \quad i \in 1 : m,$$

для нахождения решения которой можно рекомендовать применение метода ветвей и границ [57].

**3.1.5** Рассмотрим прямоугольную пластину с областью срединной поверхности  $\Omega = \{0 \leq x \leq a, 0 \leq y \leq b\}$ , нагруженную по краям  $x = 0$ ,  $x = a$  нормальными усилиями  $T_c$  и по всем краям – касательными усилиями  $S_o$  при граничных условиях жесткой (подвижной) заделки

или шарнирного опирания. Предполагаем, что перемещения по линиям  $y = b_o$ ,  $y = b_1$ , ( $0 < b_o < b_1 < b$ ), ограничены абсолютно жесткими тонкими ребрами одностороннего действия. Тогда по аналогии с (3.22) рассматриваемую задачу можно сформулировать так [58]:

$$\begin{aligned} U &= \frac{d_o}{2} \int_0^a \int_0^b [(\Delta w)^2 - (1 - \nu)\Lambda(w, w)] dx dy \longrightarrow \min_{w \in \mathfrak{M}}, \\ \mathfrak{M} &= \left\{ w \in \dot{W}_2^{(2)}(\Omega) : g(w) = 1, \quad (\Gamma_j w)(M) = 0, \quad j = 1, 2, \quad M \in \partial\Omega, \right. \\ &\quad \left. w(x, b_o) \geq 0, \quad w(x, b_1) \geq 0 \right\}, \\ g(w) &= \frac{1}{2} \int_0^a \int_0^b (T_o w'_x)^2 + 2S_o w'_x w'_y dx dy = 1. \end{aligned} \quad (3.32)$$

Если  $w_*$  – решение задачи (3.32), то критические силы определяются по формулам

$$T_* = \lambda_* T_o, \quad S_* = \lambda_* S_o, \quad \lambda_* = U(w_*).$$

Для решения задачи (3.32) применялся локальный метод с последующей проверкой результатов методом ветвей и границ. Прогиб пластины аппроксимировался двумерными интерполяционными кубическими сплайнами. Для шарнирно опертых краев использовалась также аппроксимация частичной суммой ряда Фурье.

В табл. 3.2 приведены результаты вычислений при следующих значениях параметров:  $d_o = 1, a = 1, b = 0.2, m = 20, n = 10$  ( $m, n$  – число точек сетки, соответственно по  $x$  и по  $y$ , используемой при строении интерполяционного сплайна). При этом принимались следующие обозначения:

$\lambda_*^{(1)}$  – собственное число для шарнирно опертой пластины без ограничений на прогиб, аппроксимируемый тригонометрическим рядом;

$\lambda_*^{(2)}, \lambda_*^{(3)}$  – собственные числа для шарнирно опертой пластины, подкрепленной жесткими ребрами по линиям  $y = b_o = b/3, y = b_1 = 2b/3$  при аппроксимации прогиба соответственно рядом Фурье и сплайнами;

$\lambda_*^{(4)}$  – собственное число для пластины с подвижным жесткими краями без ограничений на прогиб при аппроксимации сплайнами;

$\lambda_*^{(5)}$  – собственное число для пластины с подвижными жесткими краями, подкрепленной ребрами по линиям  $y = b_o = b/3, y = b_1 = 2b/3$ , при аппроксимации сплайнами.

Таблица 3.2

$T, S$	3;1	2;1	1;0	1;1	1;2	1;3	1;4	1;5
$\lambda_*$								
$\lambda_*^{(1)}$	313.0	444.6	988.4	723.6	492.1	366.1	290.3	240.1
$\lambda_*^{(2)}$	357.2	514.9	1106	869.2	607.6	449.0	354.7	293.1
$\lambda_*^{(3)}$	357.4	515.7	1107	871.0	599.6	443.2	351.0	288.7
$\lambda_*^{(4)}$	551.0	775.7	1757	1237	827	611.5	485	399.2
$\lambda_*^{(5)}$	750.2	1049	2384	1640	1079	790.5	623.6	513.7

Формы потери устойчивости пластины с жестко защемленными краями при  $T_o = 3, S_o = 1$  показаны на рис. 3.2, а (без ограничений на прогиб) и 3.2, б (жесткие ребра при  $y = b/3, y = 2b/3$ ). При отсутствии ребер выпуклости имеются по обе стороны срединной плоскости недеформированной пластины (см. рис. 3.2, а), а при наличии ребер выпуклости расположены по одну сторону срединной плоскости (см. рис. 3.2, б).

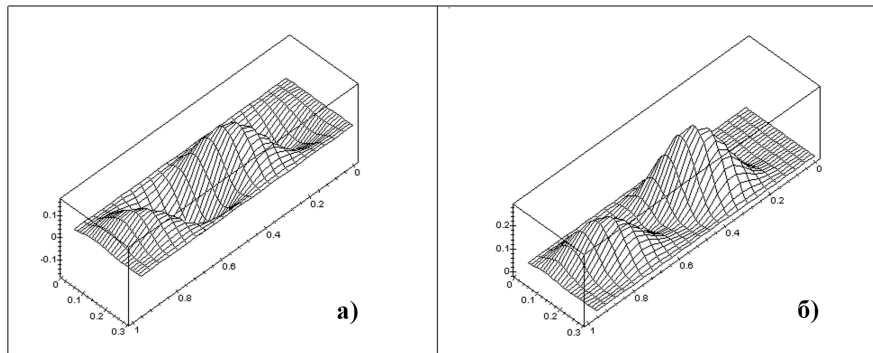


Рис. 3.2.

Изложенная выше задача в работе [59] была переформулирована (усложнена) следующим образом. Вместо абсолютно жестких ребер рассматривалась система из  $k$  упругих "ребер", реагирующих на поперечное выпучивание пластины в сторону  $w < 0$  как одномерные винклеровы основания (ребра) с жесткостями  $\beta_\alpha$ ,  $\alpha \in 1 : k$ . При этом автор ограничился рассмотрением случая шарнирно опертой пластины. Для решения уравнений Кáрмана формально расписывалась итерационная схема стационарного метода Ричардсона [60], которая в последующем распространялась на задачи минимизации соответствующих энергетических функционалов. Искомые функции  $w(x, y)$ ,  $\Phi(x, y)$  при переходе к конечномерной аппроксимации приближались кубическими сплайнами

двух переменных [61]. В результате исходная проблема устойчивости и закритического поведения пластины при односторонних упругих ограничениях свелась к решению двух задач выпуклого квадратичного программирования. Результаты численных экспериментов представлены в виде графиков с использованием линий уровня.

### 3.2. Комбинированный алгоритм „ППВ+ЛПВ“

Алгоритм *полного перебора вариантов* (ППВ) для решения одномерной спектральной задачи (3.1) впервые применялся в работе [58]. Поясним порядок реализации алгоритма ППВ. Уравнение (3.2), преобразованное к виду (3.19), с использованием конечно-разностной аппроксимации на сетке с узлами  $\xi_i = ih, i \in 0 : m, h = \pi/m$  заменяем однородной системой алгебраических уравнений. Некоторая интрига в этой, вообще говоря, рутинной процедуре связана с аппроксимацией подчеркнутых в уравнении (3.19) нелинейных слагаемых.

Введем т.н. *вектор формы*

$$b = [b_1, b_2, \dots, b_{m-1}]^\oplus, \quad (3.33)$$

где  $\oplus$  – знак транспонирования,

$$b_i = \begin{cases} 1, & w_i > 0 \\ 0, & w \leq 0 \end{cases}, \quad w_i \triangleq w(\xi_i). \quad (3.33')$$

С использованием компонент вектора формы названные нелинейные слагаемые аппроксимируются с помощью формул

$$w_+(\xi_i) = b_i w_i, \quad w_-(\xi_i) = (1 - b_i) w_i. \quad (3.34)$$

В окончательном виде аппроксимирующаяся система алгебраических уравнений содержит  $2m - 1$  неизвестных:

$w_i, i \in 1 : m - 1$  — компоненты искомого вектора  $\tilde{w} = [w_1, w_2, \dots, w_{m-1}]^\oplus$ ;

$b_i, i \in 1 : m - 1$  — компоненты вектора формы, рассматриваемые как параметры системы уравнений;

$\lambda$  — собственное число, т.е. такое, при котором определитель линейной однородной системы уравнений обращается в нуль.

Придавая параметрам  $b_i$  значения 0 или 1 в различных сочетаниях, придем к  $2^{m-1}$  вариантам вектора формы. Фиксируя тот или иной вариант вектора формы, будем иметь детерминированную спектральную

задачу в  $R^{m-1}$ . Решив ее, запоминаем собственное число и собственную форму  $\tilde{w}$  (или  $-\tilde{w}$ ), если последняя согласуется с выбранным вектором формы. После перебора всех вариантов вектора формы определяем наименьшее собственное число для сетки размерностью  $m$ . В общем случае в зависимости от  $m$  алгоритм ППВ позволяет находить не только первое собственное число, но и часть собственного спектра. Однако практическая реализация алгоритма ППВ наталкивается на ситуацию, которую Р. Беллман называл "проклятием размерности": при использовании этого алгоритма "вслепую" на сетке размерностью  $m$  необходимо решать  $2^{m-1}$  линейных спектральных задач в  $R^{m-1}$ .

В работе [62] предложен комбинированный алгоритм "ППВ+ЛПВ" (ЛПВ - локальный перебор вариантов) который заключается в следующем. Сначала на редкой сетке, т.е. такой, чтобы  $2^{m-1}$  было не слишком большим числом, реализуется алгоритм ППВ и устанавливается *качественно адекватная собственная форма*, имеющая устойчивый с ростом  $m$  вид графика (например, собственная форма с двумя полуволнами). Затем применяется алгоритм ЛПВ, который заключается в том, что число узлов сетки последовательно удваивается делением пополам, а перебор вариантов производится лишь вблизи корней эволюционирующей собственной формы. Процесс продолжается до тех пор, пока соответствующее собственное значение не стабилизируется с требуемой (и достижимой) точностью.

При этом могут быть использованы две схемы перебора вариантов.

*Первая схема* ЛПВ основана на предположении, что при удвоении числа узлов сетки точка пересечения графиком приближенной собственной формы оси  $\xi$  не выйдет за пределы интервала  $[\xi_i, \xi_{i+1}]$ . По этой схеме для каждого корня собственной формы реализуются два варианта вычислений (рис. 3.3):

$$1) b_{2j+1} = 1, \quad 2) b_{2j+1} = 0. \quad (3.35)$$

Таким образом, при наличии  $p$  корней собственной формы перебору подлежит  $2^p$  вариантов вектора формы.

*Вторая схема* ЛПВ основана на предположении, что при удвоении числа узлов сетки точка пересечения графиком собственной формы оси  $\xi$  может выйти за пределы интервала, в котором она располагалась до удвоения числа узлов сетки (см. рис. 3.3).

Вторая схема сводится к перебору четырех вариантов для каждого корня собственной формы:

$$1) b_{2i} = b_{2i+1} = b_{2i+2} = 0,$$

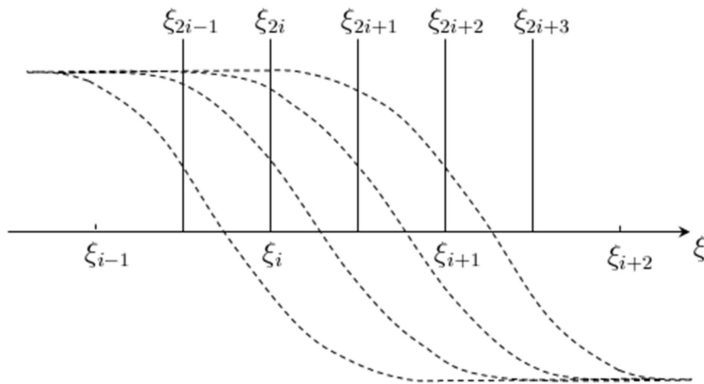


Рис. 3.3.

- 2)  $b_{2i} = 1, b_{2i+1} = b_{2i+2} = 0,$
- 3)  $b_{2i} = b_{2i+1} = 1, b_{2i+2} = 0,$
- 4)  $b_{2i} = b_{2i+1} = b_{2i+2} = 1.$  (3.36)

При наличии  $p$  корней собственной формы реализация второй схемы ЛПВ предполагает перебор  $2^{2p}$  вариантов собственного вектора.

Обратимся вновь к табл. 3.1, где (наряду с  $P_I$ ) приведены значения первого собственного числа  $\lambda_1$ , полученные с применением первой схемы ЛПВ (ППВ при  $m = 8$ , ЛПВ при  $m = 16, 32$ ). Как уже было сказано параметр  $k_1$  фиксировался ( $k_1 = 16$ ), а параметр  $k_2$  изменялся от  $k_2 = 18$  до  $k_2 = 810$ .

Из рис. 3.1 видно, что полуволна  $w < 0$  с ростом как бы вытесняется в сторону винклеровой среды меньшей жесткости.

С учетом того, что локальный метод и комбинированный алгоритм перебора вариантов оценивают собственные числа сверху, можно заключить о более точной оценке первого собственного числа при использовании алгоритма "ППВ+ЛПВ" ( $\lambda_1(k_2) < P_I(k_2)$ ).

С применением алгоритма IIIВ решалась задача об устойчивости осесимметрично изгибающейся круглой пластины на границе винклеровых сред от действия равномерно распределенной по контуру радиально сжимающей нагрузки [63]. Позднее эта же задача исследовалась с помощью комбинированного алгоритма "ППВ+ЛПВ" [64]. Последний из названных алгоритмов применялся также для решения задачи на устойчивость в рамках осесимметричной деформации продольно сжимаемой цилиндрической оболочки (в частности, с учетом поперечных

сдвигов по модели С.П. Тимошенко) при внешних и внутренних односторонних ограничениях винклерового типа [66-68].

### 3.3. Алгоритм движения

#### по параметру жесткости

##### 3.3.1. Иллюстрация применения

###### алгоритма

Ниже излагается *алгоритм движения по параметру жесткости* одной из разномодульных упругих сред, альтернативный комбинированному алгоритму „ППВ+ЛПВ“.

Поясним этот алгоритм на примере продольно сжимаемого шарнирно опертого стержня на границе винклеровых сред с параметрами жесткости  $k_1 = 20$ ,  $k_2 = 25$ . Сначала рассматриваем случай однородной упругой среды с параметрами жесткости  $k_1 = k_2 \stackrel{\Delta}{=} k = 20$ . Собственные числа для этого случая определяются по формуле [41]

$$\lambda_{(n)} = n^2 + \frac{k}{n^2}, \quad (3.37)$$

где  $n$  – число полуволн собственной формы

$$w(\xi) = B \sin n\xi, \quad \xi \in [0, \pi]. \quad (3.38)$$

Выясним, какому значению  $n$  отвечает минимальное собственное число  $\lambda_1$  при  $k = 20$ . На основании формулы (3.37) получаем

$$\lambda_{(1)} = 21, \quad \lambda_{(2)} = 9, \quad \lambda_{(3)} = 11.22, \quad \lambda_{(4)} = 17.25.$$

Отсюда следует, что

$$\lambda_1 = \lambda_{(2)} = 9, \quad \lambda_2 = \lambda_{(3)} = 11.22, \quad \lambda_3 = \lambda_{(4)} = 17.25 \text{ и т.д.}$$

Таким образом, минимальному собственному числу ( $\lambda_1 = 9$ ) отвечает двухполуволновая собственная форма.

Далее решаем эту же задачу с использованием конечно-разностной аппроксимации на достаточно густой сетке. В данном случае принимаем  $m = 100$  и получаем  $\lambda_1 = 9.0065$ . Соответствующую этому числу собственную форму рассматриваем как качественно адекватную для случая  $k_1 = 20$ ,  $k_2 = 21$ . Используя перебор возможных вариантов, будем проверять на соответствие следующие векторы формы:

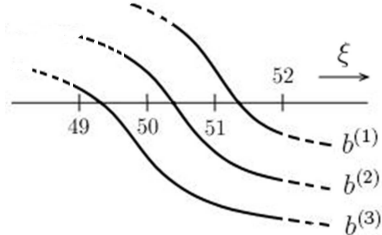


Рис. 3.4.

$$b^{(1)} = (b_i = 1, i \in 1 : 51; b_i = 0, i \in 52 : 99),$$

$$b^{(2)} = (b_i = 1, i \in 1 : 50; b_i = 0, i \in 51 : 99),$$

$$b^{(3)} = (b_i = 1, i \in 1 : 49; b_i = 0, i \in 50 : 99).$$

В случае  $k_1 = 20, k_2 = 21$  векторы формы  $b^{(1)}, b^{(3)}$  не приводят к согласованному решению, а непротиворечивому варианту

$b^{(2)}$  отвечает собственное число  $\lambda_1 = 9.129$ . Полученную при этом собственную форму принимаем за качественно адекватную для случая  $k_1 = 20, k_2 = 22$ . Вариант  $b^{(2)}$  дает решение  $\lambda_1 = 9.243$ . Продолжая процесс, получаем результаты, представленные в таблице

Таблица 3.3

$k_2$	21	22	23	24	25
$b^{(i)}$	$b^{(2)}$	$b^{(2)}$	$b^{(2)}$	$b^{(1)}$	$b^{(1)}$
$\lambda_1$	9.129	9.243	9.346	9.443	9.532

### 3.3.2. Учет трансверсальных сдвигов в уравнении продольно-поперечного изгиба стержня

Рассмотрим продольно-поперечный изгиб стержня с учетом сдвигов по модели С.П.Тимошенко. Связем со стержнем прямоугольную декартову систему координат  $(x_1, x_2, x_3)$  так, чтобы продольная ось  $x_1 \stackrel{\Delta}{=} x$  соединяла центры тяжести поперечных сечений, а ось  $x_3 \stackrel{\Delta}{=} \xi$  проходила по линии симметрии поперечного сечения стержня. Предполагаем, что поперечная погонная нагрузка  $q$  действует в плоскости  $(x_1, x_3)$ , а продольная сжимающая сила направлена по оси  $x_1$ . Кроме этого считаем, что изгибная жесткость относительно оси  $x_2$  намного меньше соответствующей жесткости относительно оси  $x_3$ , т.е.

$$I \stackrel{\Delta}{=} I_2 \equiv \int_{(S)} \xi^2 dS \ll \int_{(S)} x_2^2 dS \equiv I_3, \quad (3.39)$$

где  $(S)$  – область поперечного сечения стержня.

При названных условиях реализуется продольно-поперечный изгиб в плоскости  $(x_1, x_3)$ .

Как известно, продольная деформация поперечно изгибаемой балки в соответствии с гипотезой плоских (normalных) сечений определяется

по формуле

$$e_{11}^{\xi'} = \xi/\rho \approx -w''\xi, \quad (3.40)$$

где  $1/\rho$  – кривизна изогнутой оси балки,  $w$  – прогиб балки,  $w'' \triangleq d^2w/dx^2$ .

Если имеет место поперечный сдвиг  $\alpha_{13} \triangleq \psi$  волокон  $x_1$  и  $x_3$ , то ему отвечает дополнительная продольная деформация

$$e_{11}^{\xi''} = \frac{\psi(x+dx)\xi - \psi(x)\xi}{dx} = \psi'(x)\xi. \quad (3.41)$$

Изменением длины оси стержня от действия продольных сил пренебрегаем, считая стержень гибким. Тогда полная продольная деформация слоя  $\xi = \text{const}$  за счет поперечного изгиба стержня (балки) определяется формулой

$$e_{11}^{\xi} = e_{11}' + e_{11}'' = (-w'' + \psi')\xi. \quad (3.42)$$

Принимая статическую гипотезу о том, что напряжения на площадках, паралельных оси стержня, пренебрежимо малы по сравнению с напряжениями в поперечных сечениях, получаем

$$\sigma_{11}^{\xi} = Ee_{11}^{\xi} = E(-w'' + \psi')\xi, \quad (3.43)$$

где  $E$  – модуль Юнга материала балки.

Как известно, сдвиг  $\alpha_{13}$  связан с компонентами тензора малых деформаций Копти  $e_{ij}^{\xi}$  формулой (см., например, [23])

$$\sin \alpha_{13} = \frac{2e_{13}^{\xi}}{\sqrt{1+2e_{11}^{\xi}}\sqrt{1+2e_{33}^{\xi}}}.$$

Отсюда с учетом того, что деформации  $e_{ij}^{\xi}$  малы по сравнению с единицей, имеем

$$e_{13}^{\xi} \approx \frac{1}{2}\alpha_{13} \equiv \frac{1}{2}\psi,$$

и поэтому в соответствии с законом Гука справедлива формула

$$\sigma_{13}^{\xi} = 2\mu e_{13}^{\xi} = \mu\psi, \quad (3.44)$$

где  $\mu$  – модуль сдвига:  $\mu = E/2(1+\nu)$ ;  $\nu$  – коэффициент Пуассона.

Упругая энергия балки, длиной  $l$  и площадью поперечного сечения  $S$ , определяется соотношением

$$\begin{aligned} U &= \frac{1}{2} \int_0^l \left[ \int_{(S)} (\sigma_{11}^{\xi} e_{11}^{\xi} + 2\sigma_{13}^{\xi} e_{13}^{\xi}) dS \right] dx = \\ &= \frac{1}{2} \int_0^l [EI(-w'' + \psi')^2 + \mu S \psi^2] dx. \end{aligned} \quad (3.45)$$

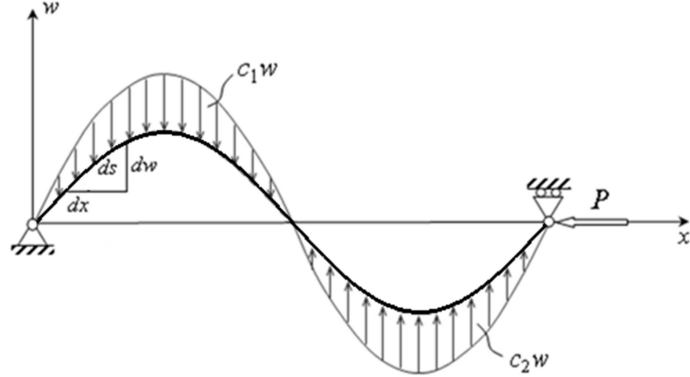


Рис. 3.5.

Далее получим формулу для работы, совершающейся продольной силой  $P$ . В соответствии с рис.3.5 имеем

$$A_P = P \int_0^l (ds - dx) = P \int_0^l (\sqrt{1+w'^2} - 1) dx \approx \frac{1}{2} P \int_0^l w'^2 dx. \quad (3.46)$$

Учитывая, что работа погонной поперечной силы  $q$  определяется по формуле

$$A_q = \int_0^l q w dx, \quad (3.47)$$

приходим к следующему выражению для полной потенциальной энергии продольно-поперечного изгиба стержня (балки) с учетом трансверсальных сдвигов:

$$\Pi = U - A_P - A_q = \int_0^l F(w, w', w'', \psi, \psi') dx, \quad (3.48)$$

где

$$F = \frac{1}{2} EI(-w'' + \psi')^2 + \frac{1}{2} \mu S \psi^2 - q w - \frac{1}{2} P w'^2. \quad (3.48')$$

Уравнения Эйлера для функционала (3.48) определяются равенствами

$$\frac{\partial F}{\partial w} - \frac{d}{dx} \frac{\partial F}{\partial w'} + \frac{d^2}{dx^2} \frac{\partial F}{\partial w''} = 0,$$

$$\frac{\partial F}{\partial \psi} - \frac{d}{dx} \frac{\partial F}{\partial \psi'} = 0$$

и имеют вид

$$EIw^{IV} = q + EI\psi''' - Pw'', \quad (3.49)_1$$

$$EI(-w'' + \psi')' = \mu S\psi. \quad (3.49)_2$$

Для получения единого разрешающего уравнения продольно-поперечного изгиба, воспользуемся уравнениями равновесия элемента балки

$$\frac{dM}{dx} = Q, \quad \frac{dQ}{dx} = -q, \quad (3.50)$$

где

$$\begin{aligned} M &= \int_{(S)} \sigma_{11}^\xi \xi dS = EI(-w'' + \psi'), \\ Q &= \int_{(S)} \sigma_{13}^\xi dS = \mu S\psi. \end{aligned} \quad (3.50')$$

Очевидно, что соотношение (3.49)<sub>2</sub> представляет собой первое уравнение равновесия (3.50), записанное с учетом формул (3.50'). Неиспользованным осталось второе уравнение (3.50), из которого, принимая во внимание вторую формулу (3.50'), получаем

$$\psi' = -\frac{1}{\mu S}q. \quad (3.51)$$

Исключив с помощью равенства (3.51) функцию  $\psi(x)$  из уравнения (3.49)<sub>1</sub>, окончательно будем иметь

$$EIw^{IV} = q - \tilde{h}_\psi^2 q'' - Pw'', \quad (3.52)$$

где  $\tilde{h}_\psi^2$  – параметр, связанный с учетом поперечных сдвигов (см. форм. (1.22)<sub>1</sub>):

$$\tilde{h}_\psi^2 = EI/\mu S. \quad (3.53)$$

Уравнение (3.52) является уравнением Эйлера-Пуассона для функционала

$$J(w) = \int_0^l (\frac{1}{2}EIw''^2 - \frac{1}{2}Pw'^2 - qw + \tilde{h}_\psi^2 q'' w) dx. \quad (3.54)$$

### 3.3.3. Постановка спектральной задачи при учете поперечных сдвигов

Учитывая, что поперечную нагрузку при деформации продольно сжатого стержня составляют реакции винклеровых сред, т.е.

$$q = c_1 w_+ + c_2 w_-, \quad (3.55)$$

уравнение (3.52) трансформируется в следующее:

$$EIw^{IV} + c_1 w_+ + c_2 w_- - \tilde{h}_\psi^2 (c_1 w_+ + c_2 w_-)'' = -Pw''. \quad (3.56)$$

Ограничимся рассмотрением краевых условий шарнирного опирания, которые с учетом первого равенства (3.50') имеют вид

$$w = 0, M = EI(-w'' + \psi') = 0 \text{ при } x = 0, x = l. \quad (3.57)$$

Принимая во внимание равенства (3.51), (3.55), второе условие (3.57) можно преобразовать так:

$$w'' - \psi' = w'' - \frac{1}{\mu S} (c_1 w_+ + c_2 w_-) = w'' = 0.$$

Таким образом, граничные условия шарнирного опирания при поперечной нагрузке в виде реакций винклеровой среды записываются так же, как и в случае классической теории изгиба балок:

$$w = 0, w'' = 0 \text{ при } x = 0, x = l. \quad (3.58)$$

Выполним в уравнении (3.56) и в функционале (3.54) при учете соотношения (3.55) замену по формулам (3.19'). Записывая функционал с точностью до постоянного множителя, будем иметь:

$$w^{IV} + k_1 w_+ + k_2 w_- - \varkappa^2 (k_1 w_+ + k_2 w_-)'' = -\lambda w''; \quad (3.59)$$

$$\begin{aligned} \tilde{J}(w) = & \frac{1}{2} \int_0^\pi [w''^2 + k_1 w_+^2 + k_2 w_-^2 - \lambda w'^2 + \\ & + \varkappa^2 (k_1 w_+ + k_2 w_-) w''] d\xi, \end{aligned} \quad (3.60)$$

где дополнительно принято обозначение

$$\varkappa^2 = \pi^2 \tilde{h}_\psi^2 / l^2. \quad (3.61)$$

Рассмотрим, в частности, случай  $k_1 = k_2 \stackrel{\Delta}{=} k$ . Уравнение (3.59) для однородной винклеровой среды принимает вид

$$w^{IV} + (\lambda - \varkappa^2 k)w'' + kw = 0. \quad (3.62)$$

Учитывая, что спектральная задача  $\{(3.62), (3.58)\}$  при  $\varkappa^2 = 0$  имеет решение (3.37), (3.38), сразу можно записать

$$\lambda_{(n)} = n^2 + \frac{k}{n^2} + \varkappa^2 k, \quad w = B \sin n\xi. \quad (3.63)$$

Выявим значимость связанного с учетом поперечных сдвигов последнего слагаемого в формуле для  $\lambda_{(n)}$ . Зададимся вопросом: при каком  $n$  отношение

$$\mu_{(n)} = \frac{\varkappa^2 k}{\lambda_{(n)}} \quad (3.64)$$

принимает максимальное значение?

В результате элементарных преобразований устанавливаем, что максимум  $\mu_{(n)}$  достигается при  $n = [\sqrt[4]{k}]$ , где квадратные скобки означают целую часть заключенного в них числа. При этом само отношение (3.64) принимает вид

$$\max \mu_{(n)} = \frac{\varkappa^2 n^2}{2 + \varkappa^2 n^2}.$$

Если положить, например,  $\varkappa^2 = 4 \cdot 10^{-3}$ ,  $k = 10^4$ , то получим

$$\max \mu_{(n)} = \mu_{(10)} = 0.1667.$$

### 3.3.4. Конечно-разностная аппроксимация

Заменим формулу (3.60) приближенной с использованием дискретного представления функции  $w(\xi)$ ,  $\xi \in [0, \pi]$  на сетке

$$\begin{aligned} w_i &\stackrel{\Delta}{=} w(\xi_i), i \in -1 : m+1, \quad \xi_{i+1} = \xi_i + h, \quad h = \pi/(m+2), \\ \xi_{-1} &= 0, \quad \xi_{m+1} = \pi. \end{aligned} \quad (3.65)$$

Интегралы вычисляем по формуле трапеций, производные аппроксимируем конечно-разностными отношениями

$$\begin{aligned} w'(\xi_i) &= \frac{w_{i+1} - w_{i-1}}{2h}, \quad w''(\xi_i) = \frac{w_{i+1} - 2w_i + w_{i-1}}{h^2}; \\ w'(\xi_{-1}) &= \frac{-3w_{-1} + 4w_0 - w_1}{2h}, \quad w'(\xi_{m+1}) = \frac{w_{m-1} - 4w_m + 3w_{m+1}}{2h}, \\ w''(\xi_{-1}) &= \frac{w_{-1} - 2w_0 + w_1}{h^2}, \quad w''(\xi_{m+1}) = \frac{w_{m-1} - 2w_m + w_{m+1}}{h^2}. \end{aligned} \quad (3.66)$$

Значения срезок функции  $w(\xi)$  в узлах сетки представляем соотношениями (3.34).

Границные условия шарнирного опирания

$$w(0) = w(\pi) = 0, \quad w''(0) = w''(\pi) = 0$$

в терминах дискретных значений функции  $w(\xi)$  можно записать так:

$$w_{-1} = w_{m+1} = 0, \quad w_0 = w_1/2, \quad w_m = w_{m-1}/2. \quad (3.67)$$

С учетом соотношений (3.34) энергию деформации винклеровых сред (с точностью до постоянного множителя) можно представить формулой

$$\frac{h}{2} \sum_{i=1}^{m-1} [c_i(k_1 b_i^2 + k_2(1 - b_i)^2)] w_i^2 \triangleq \frac{1}{2} \tilde{w}^T C \tilde{w}, \quad (3.68)$$

где

$$\tilde{w} = [w_1, w_2, \dots, w_{m-1}]^\oplus, \quad C = h \operatorname{diag} [c_1 \tilde{b}_1, \dots, c_{m-1} \tilde{b}_{m-1}],$$

$$\tilde{b}_i \triangleq k_1 b_i + k_2(1 - b_i), \quad c_1 = c_{m-1} = 1.5, \quad c_i = 1, \quad i \in 2 : m-2. \quad (3.68')$$

(В выражении для матрицы  $C$  на основании формулы (3.33') вместо  $b_i^2$ ,  $(1 - b_i)^2$  записано  $b_i$ ,  $1 - b_i$ .)

Функционал (3.60) с использованием формул (3.66), (3.68) заменяется следующим приближенным выражением:

$$\tilde{J}(\tilde{w}) = \frac{1}{2} \tilde{w}^\oplus A \tilde{w} + \frac{1}{2} \tilde{w}^\oplus C_1 \tilde{w} - \frac{1}{2} \lambda \tilde{w}^\oplus Q \tilde{w}, \quad (3.69)$$

где

$$A = \frac{1}{h^3} \begin{bmatrix} a_{11} & a_{12} & 1 & & & & & \mathbf{0} \\ a_{21} & 6 & -4 & 1 & & & & \\ 1 & -4 & 6 & -4 & 1 & & & \\ \cdot & \cdot & \cdot & \cdot & \cdot & \cdot & & \\ & 1 & -4 & 6 & -4 & 1 & & \\ \mathbf{0} & & 1 & -4 & 6 & a_{m-2,m-1} & & \\ & & & 1 & a_{m-1,m-2} & a_{m-1,m-1} & & \end{bmatrix}, \quad (3.69')_1$$

$$Q = \frac{1}{4h} \begin{bmatrix} q_{11} & q_{12} & -1 & & & & & \mathbf{0} \\ q_{21} & 2 & 0 & -1 & & & & \\ -1 & 0 & 2 & 0 & -1 & & & \\ \cdot & \cdot & \cdot & \cdot & \cdot & & & \\ & -1 & 0 & 2 & 0 & & -1 & \\ \mathbf{0} & & -1 & 0 & 2 & q_{m-2,m-1} & & \\ & & & -1 & q_{m-1,m-2} & q_{m-1,m-1} & & \end{bmatrix}, \quad (3.69')_2$$

$$C_1 = C - \frac{\varkappa^2}{h} \begin{bmatrix} c_{11}\bar{b}_1 & \frac{\bar{b}_1+\bar{b}_2}{2} & & & & \\ \frac{\bar{b}_1+\bar{b}_2}{2} & -2\bar{b}_2 & \frac{\bar{b}_2+\bar{b}_3}{2} & & & \\ & . & . & & & \\ & & \frac{\bar{b}_{m-3}+\bar{b}_{m-2}}{2} & -2\bar{b}_{m-2} & \frac{\bar{b}_{m-2}+\bar{b}_{m-1}}{2} & \\ & & & \frac{\bar{b}_{m-2}+\bar{b}_{m-1}}{2} & c_{m-1,m-1}\bar{b}_{m-1} & \\ \mathbf{0} & & & & & \end{bmatrix}. \quad (3.69')_3$$

В формулах (3.69') для рассматриваемого здесь случая шарнирно оперто стержня следует положить

$$a_{11} = a_{m-1,m-1} = 3.25, \quad a_{12} = a_{21} = a_{m-1,m-2} = a_{m-2,m-1} = -3.5,$$

$$q_{11} = q_{m-1,m-1} = 2.75, \quad q_{12} = q_{21} = q_{m-1,m-2} = q_{m-2,m-1} = -0.5,$$

$$c_{11} = c_{m-1,m-1} = 1.5. \quad (3.70)$$

Необходимое условие минимума функционала (3.69) имеет вид

$$\nabla_{\tilde{w}} \tilde{J}(\tilde{w}) = A\tilde{w} + C_1\tilde{w} - \lambda Q\tilde{w} = 0. \quad (3.71)$$

При отсутствии симметрии балки относительно сечения  $x = l/2$  ( $\xi = \pi/2$ ), осуществляя переход от винклеровых сред с жесткостями  $k_1, k_1 + z\Delta k$  к случаю  $k_1, k_1 + (z+1)\Delta k$ , приходится выполнять локальный перебор вариантов вектора формы вслепую, например, по первой или второй схеме ЛПВ. Однако в случае одинаковых граничных условий на краях  $x = 0, x = l$  число вариантов сокращается в связи с предсказуемостью эволюции собственной формы при увеличении параметра жесткости  $k_2$ . Например, в п.3.3.1 рассматривались три „возможных“ варианта вектора формы  $b^{(1)}, b^{(2)}, b^{(3)}$ . Однако очевидно, что при увеличении жесткости  $k_2$  точка, являющаяся корнем собственной формы, может перемещаться по оси  $\xi$  лишь вправо (см. рис. 3.5) и поэтому форму  $b^{(3)}$  следует исключать из числа возможных.

Несложный анализ эволюции собственной формы позволяет минимизировать число вариантов вектора формы для симметричной относительно сечения  $x = l/2$  конструкции.

Пусть собственная форма при  $k_1 = k_2 \stackrel{\Delta}{=} k$  имеет  $p = n - 1$  корней, и пусть при жесткостях  $k_1, k_1 + z\Delta k$   $j$ -ый корень собственной формы принадлежит интервалу  $(\xi_{s_j}, \xi_{s_j+1})$ . Тогда при переходе от случая  $k_1, k_1 + z\Delta k$  к случаю  $k_1, k_1 + (z+1)\Delta k$  достаточно рассмотреть варианты:

$p$  - четное число

$$b_i^{(1)} = \begin{cases} 1, & i \in 1 : s_1 \\ 0, & i \in s_1 + 1 : s_2 \\ 1, & i \in s_2 + 1 : s_3 \\ \dots & \dots \\ 0, & i \in s_{p-1} + 1 : s_p \\ 1, & i \in s_p + 1 : m - 1, \end{cases} \quad b_i^{(2)} = \begin{cases} 1, & i \in 1 : s_1 + 1 \\ 0, & i \in s_1 + 2 : s_2 - 1 \\ 1, & i \in s_2 : s_3 + 1 \\ \dots & \dots \\ 0, & i \in s_{p-1} + 2 : s_p - 1 \\ 1, & i \in s_p : m - 1; \end{cases} \quad (3.72)_1$$

 $p$  - нечетное число

$$b_i^{(1)} = \begin{cases} 1, & i \in 1 : s_1 \\ 0, & i \in s_1 + 1 : s_2 \\ 1, & i \in s_2 + 1 : s_3 \\ \dots & \dots \\ 1, & i \in s_{p-1} + 1 : s_p \\ 0, & i \in s_p + 1 : m - 1, \end{cases} \quad b_i^{(2)} = \begin{cases} 1, & i \in 1 : s_1 + 1 \\ 0, & i \in s_1 + 2 : s_2 - 1 \\ 1, & i \in s_2 : s_3 + 1 \\ \dots & \dots \\ 1, & i \in s_{p-1} : s_p + 1 \\ 0, & i \in s_p + 2 : m - 1. \end{cases} \quad (3.72)_2$$

Рассмотрим эволюцию трехполуволновой собственной формы при увеличении параметра жесткости  $k_2$ . Нетрудно убедиться, что при  $\varkappa^2 = 0, k = 36$  минимальному собственному числу отвечают две собственные формы, так как (см. форм. (3.37))

$$\lambda_1 = \lambda_{(2)} = \lambda_{(3)} = 13.$$

Поэтому, задавшись целью исследовать эволюцию трехполуволновой собственной формы при  $k_2 \rightarrow \infty$ , примем  $k_1 = 37$ . Тогда в случае однородной среды в соответствии с формулой (3.63) при  $\varkappa^2 = 0.004$  получим

$$\lambda_{(1)} = 38.15, \quad \lambda_{(2)} = 13.40, \quad \lambda_{(3)} = 13.26, \quad \lambda_{(4)} = 18.46.$$

Таким образом, имеем

$$\lambda_1 = \lambda_{(3)} = 13.26.$$

В этом случае  $p = 2$  и формулы (3.72)<sub>1</sub> принимают вид (рис.3.6)

$$b_i^{(1)} = \begin{cases} 1, & i \in 1 : s_1 \\ 0, & i \in s_1 + 1 : s_2 \\ 1, & i \in s_2 + 1 : m - 1, \end{cases} \quad b_i^{(2)} = \begin{cases} 1, & i \in 1 : s_1 + 1 \\ 0, & i \in s_1 + 2 : s_2 - 1 \\ 1, & i \in s_2 : m - 1. \end{cases} \quad (3.73)$$

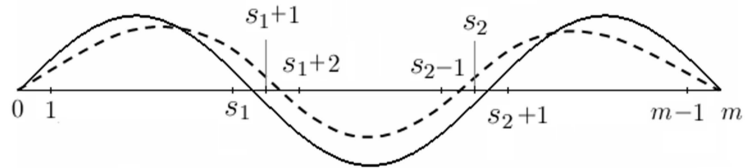


Рис. 3.6.

Приближенное решение на основе конечно-разностной аппроксимации при  $m = 100$  для случая  $k_1 = k_2 = 37$ ,  $\varkappa^2 = 0.004$  имеет вид

$$\lambda_1 = \lambda_{(3)} = 13.286.$$

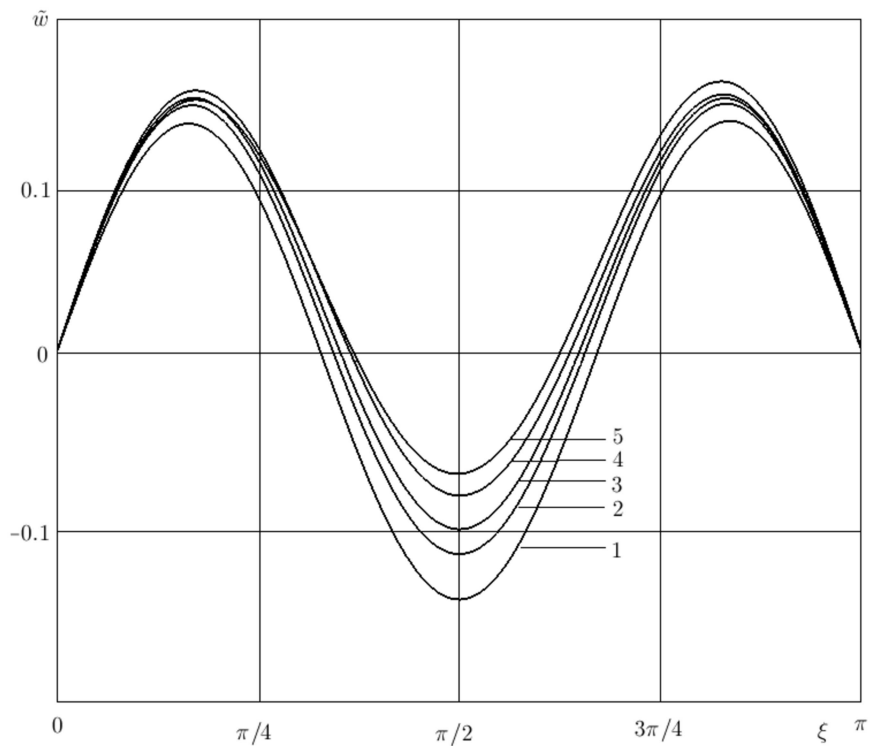
При этом корни собственной формы содержатся в интервалах  $(\xi_{33}, \xi_{34})$ ,  $(\xi_{66}, \xi_{67})$  и формулы (3.73) принимают вид

$$b_i^{(1)} = \begin{cases} 1, & i \in 1 : 33 \\ 0, & i \in 34 : 66 \\ 1, & i \in 67 : 99, \end{cases} \quad b_i^{(2)} = \begin{cases} 1, & i \in 1 : 34 \\ 0, & i \in 35 : 65 \\ 1, & i \in 66 : 99. \end{cases}$$

Выборочные результаты расчетов<sup>2</sup> можно представить в виде следующих таблицы и рисунка:

$k_2$	37	50	60	80	100
$\lambda$	13.286	13.681	13.888	14.174	14.366
Собственная форма	1	2	3	4	5
$[\xi_{s_1}, \xi_{s_1+1}]$	$[\xi_{33}, \xi_{34}]$	$[\xi_{34}, \xi_{35}]$	$[\xi_{35}, \xi_{36}]$	$[\xi_{36}, \xi_{37}]$	$[\xi_{37}, \xi_{38}]$
$[\xi_{s_2}, \xi_{s_2+1}]$	$[\xi_{66}, \xi_{67}]$	$[\xi_{65}, \xi_{66}]$	$[\xi_{64}, \xi_{65}]$	$[\xi_{63}, \xi_{64}]$	$[\xi_{62}, \xi_{63}]$

<sup>2</sup>Расчеты выполнены Е.В.Тулубенской



### Литература<sup>3</sup>

- 49\*. Тимошенко С.П. Устойчивость упругих систем/ С.П. Тимошенко.– М.-Л.: ОГИЗ, 1946. – 839с.
- 50\*. Михлин С.Г. Линейные уравнения в частных производных/ С.Г. Михлин. – М.: Высшая школа, 1977. – 431 с.
51. Тарасов В.Н. Некоторые задачи и методы конструктивно-нелинейной механики упругих систем. Под ред. проф. Е.И. Михайловского/ В.Н. Тарасов, Д.В. Холмогоров. – Сыктывкар: Изд-во Сыкт. ун-та, 2001.– 189с.
52. Михайловский Е.И. Локальный метод поиска собственных чисел положительно однородного оператора: тез. докл./Е.И. Михайлов-

---

<sup>3</sup>Начало библиографического списка см. в первой части статьи

- ский, В.Н. Тарасов//Международная научн. конф., посвящ. 100-летию со дня рождения Н.Г. Чеботарева.– Казань: Изд-во Казан. ун-та, 1994. – С. 88.
53. **Михайловский Е.И.** Закритическое поведение продольно сжатого стержня с жесткими ограничениями на прогиб/ Е.И.Михайловский, В.Н. Тарасов, Д.В. Холмогоров//АН СССР.ПММ. –1985.– Т.49, вып.1. – С. 156-160.
- 54\*. **Моисеев Н.Н.** Методы оптимизации/ Н.Н. Моисеев, Ю.П. Иванилов, Е.М. Столярова. – М.: Наука, 1978. – 325 с.
- 55\*. **Рапопорт Л.Б.** Устойчивость по Ляпунову и знакопределенность квадратичной формы на конусе/ Л.Б. Рапопорт// РАН. ПММ.– 1986. – Т. 50, вып. 4.– С. 674-679.
- 56\*. **Крепс В.Л.** О квадратичных формах, неотрицательных на ортанте/ В.Л. Крепс// ЖВМ и МФ. – 1984. – Т. 24, №4. – С. 497-503.
- 57\*. **Сухарев А.Г.** Глобальный экстремум и методы его отыскания: Математические методы в исследовании операций/А.Г. Сухарев.– М.: Изд-во Московск. ун-та, 1983. – 193 с.
58. **Тарасов В.Н.** Влияние граничных условий на устойчивость прямоугольных пластин при жестких ограничениях на перемещения/ В.Н. Тарасов, И.Н. Логинов// Вестн. Сыкт. ун-та. Сер.1. Мат. Мех. Инф. – 1995. – Вып.5. – С. 215-226.
59. **Холмогоров Д.В.** Закритическое поведение подкрепленной пластины/ Д.В. Холмогоров// Вестн. Сыкт. ун-та. Сер.1. Мат. Мех. Инф. – 2003. – Вып. 5. – С. 145-158.
60. **Михайловский, Е.И.** Итерационные методы решения операторных уравнений: уч. пособие для вузов/ Е.И. Михайловский, В.Л. Никитенков А.А. Холопов – Сыктывкар: Изд-во Сыкт. ун-та, 2009.– 322с.
- 61\*. **Завьялов В.С.** Методы сплайн-функций/В.С. Завьялов, Б.И. Квасов, В.Л. Мирошниченко. – М.: Наука, 1890. – 352 с.

62. **Михайловский Е.И.** Алгоритм локального перебора вариантов в одной существенно нелинейной спектральной задаче/ Е.И. Михайловский Е.В. Тулубенская// *РАН. ПММ.* – 2010. – Т. 14, вып. 2.– С. 299-310.
63. **Тулубенская Е.В.** Устойчивость круглой пластины на границе двух винклеровских сред/ Е.В. Тулубенская, Д.В. Логинов// *Нелинейные проблемы механики и физики деформируемого твердого тела: тр. научн. школы акад. В.В. Новожилова.* – СПб: СПбГУ, 2004. – С. 162-166.
64. **Михайловский Е.И.** Алгоритм локального перебора вариантов в задаче об устойчивости круглой пластины на границе винклеровских сред/ Е.И. Михайловский, Е.В. Тулубенская// *Механика и процессы управления: Тр.XXXVI Уральского семинара, посвященного 150-летию К.Э. Циолковского, 100-летию С.П. Королева и 60-летию Государственного ракетного центра "КБ им. академика В.П. Макеева".* – Екатеренбург: УрО РАН, 2007. – С. 109-116.
65. **Тулубенская Е.В.** Устойчивость стержня переменной жесткости при односторонних ограничениях на перемещения/ Е.В. Тулубенская, Р.В. Каргин// *Вестн. Сыкт. ун-та. Сер.1. Мат. Мех. Инф.* – – 2008. – Вып. 8. – С. 141-148.
66. **Михайловский Е.И.** Учет поперечных сдвигов в задаче об устойчивости цилиндрической оболочки в условиях конструктивной нелинейности/ Е.И. Михайловский, Е.В. Тулубенская// *Вестн. Сыкт. ун-та. Сер.1. Мат. Мех. Инф.* – – 2009. – Вып. 9. – С. 64-77.
67. **Михайловский Е.И.** К проблеме устойчивости в условиях конструктивной нелинейности/ Е.И. Михайловский// *Вестник СПбО АИИ.* – 2010. – №7. – С. 236-248.
68. **Тулубенская Е.В.** Устойчивость оболочек и пластин конструктивно-нелинейной механики: дисс....канд. физ.-мат. наук: 01.02.04.: защищена 02.04.09: утв. 19.06.2009// Тулубенская Елена Владимировна. – СПб, 2009. – 89 с. – Библиог.: с. 79-89.

**Summary**

**Mikhailovskii E. I., Tarasov V.N.** The constructive - nonlinear mechanics of plates and shells

Presents the second part of the article (the first part was published in the previous issue this "Messenger": 2010.–Vyp.11 – C.5-51) devoted to the stability and supercritical behavior of structures and structures in unilateral restrictions on the movement. The article, as stated in the preface, is a review. However, as set out in this part of the method of motion in the parameter stiffness of the elastic medium is published for the first time.

*Сыктывкарский университет*

*Поступила 23.09.2010*